

## ПОЛЕВОЕ РАСЩЕПЛЕНИЕ НЕПОГЛОЩАЮЩЕГО СОСТОЯНИЯ

Д. А. Шапиро\*

*Институт автоматики и электрометрии  
Сибирского отделения Российской академии наук  
630090, Новосибирск, Россия*

Поступила в редакцию 14 июля 1998 г.

Исследовано взаимодействие четырехуровневой системы с четырьмя сильными полями, частоты которых образуют цикл. Рассчитаны условия когерентного пленения населенностей, когда формируется непоглощающая суперпозиция состояний. Обнаружено, что в отличие от трехуровневой системы непоглощающее состояние расщепляется, т. е. реализуется при двух значениях расстройки; такое расщепление проявляется в виде узких провалов в частотной зависимости населенности верхнего уровня. Аналогичные провалы найдены в спектре нелинейной восприимчивости, ответственной за эффективность преобразования в процессе резонансного четырехволнового смешения.

## 1. ВВЕДЕНИЕ

Нелинейная оптика предлагает три основных пути изменения частоты когерентного излучения: вынужденное комбинационное рассеяние, параметрическое смешение и генерацию высших гармоник. Для получения высокоэффективной конверсии излучения в непрерывном режиме любым из этих путей необходимо настроить частоты волн в резонанс с атомными переходами, чтобы увеличить нелинейную восприимчивость. В газе, в спектре которого обычно имеются узкие линии, выигрыш может быть значительным.

Особенно перспективными представляются схемы резонансного четырехволнового смешения с вычитанием частоты, которые в ряде случаев позволяют скомпенсировать доплеровское уширение [1]. Высокая эффективность преобразования частоты света достигнута в импульсных экспериментах на парах свинца [2]. Квазинепрерывная генерация продемонстрирована на атомных уровнях криптона [3] в ромбической схеме. Непрерывный режим четырехволнового смешения с существенным увеличением частоты в оптическом спектре реализован на димерах натрия в двойной  $\Lambda$ -схеме [4]. Обе схемы смешения приведены на рис. 1. Условия цикла записываются для двойной  $\Lambda$ -схемы и ромбической схемы как

$$\omega_a - \omega_b - \omega_c + \omega_d = 0, \quad \omega_a - \omega_b + \omega_c - \omega_d = 0, \quad (1)$$

где  $\omega_a, \omega_b, \omega_c, \omega_d$  — частоты электромагнитных полей, и отличаются друг от друга только последовательностью знаков ( $\mp$  или  $\pm$ ) в третьем и четвертом слагаемых. Поэтому их иногда называют разностно-суммарной и суммарно-разностной соответственно. Эффективность преобразования в двойной  $\Lambda$ -схеме оказалась достаточно высокой (25%

\*E-mail: shapiro@iae.nsk.su

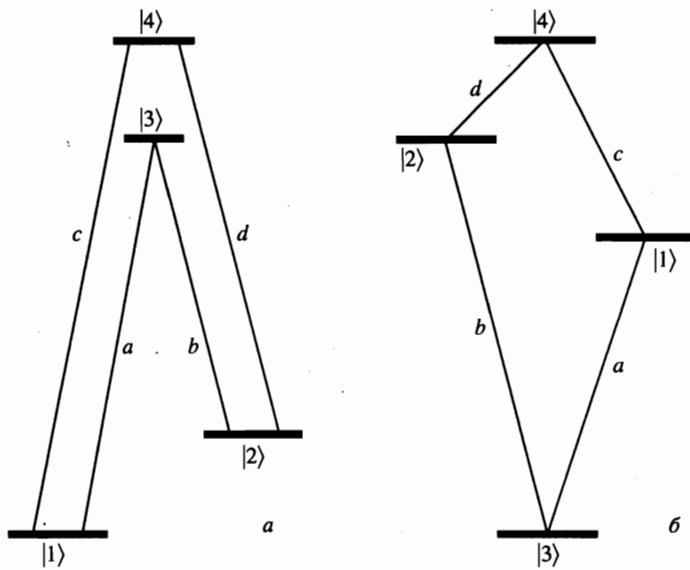


Рис. 1. Двойная  $\Lambda$ - (а) и ромбическая (б) схемы четырехволнового смешения с вычитанием частоты

по отношению к самой слабой из интенсивностей возбуждающих полей [5]). Однако эффективной конверсии обычно мешает резонансное поглощение света средой.

Чтобы избежать поглощения, предложено использовать эффект электромагнитно-индуцированной прозрачности, возникающей в среде из-за когерентного пленения населенностей [6] (см. также [2, 7, 8]). Явление когерентного пленения населенностей хорошо изучено для трехуровневых систем [9, 10]. Физическая природа эффекта заключается в интерференции квантовых состояний, смешиваемых сильным полем. В трехуровневой  $\Lambda$ -схеме когерентное пленение населенностей проявляется при равных отстройках полей относительно соответствующих переходов в виде отщепленного состояния — линейной комбинации пары нижних состояний, не взаимодействующей с полем. Если зафиксировать отстройку одного из полей, то в интенсивности флуоресценции в зависимости от отстройки второго поля появляется «темный» резонанс — глубокий провал с малой шириной. Обсуждалось также обобщение теории когерентного пленения населенностей на  $N$ -уровневые системы (см. [10] и цитированную там литературу). Однако роль когерентного пленения в резонансном четырехволновом смешении оставалась неясной. В работах, посвященных усилению без инверсии в двойной  $\Lambda$ -схеме [11], критерий когерентного пленения населенностей брался из теории трехуровневых систем. С другой стороны, в расчетах полностью резонансного четырехволнового смешения в сильном поле [12] вопрос о критерии когерентного пленения населенностей не рассматривался.

В настоящей работе вычислена нелинейная восприимчивость в простейших схемах четырехволнового смешения с вычитанием частоты. Для этого в разд. 2 на основе уравнений для вектора амплитуд без релаксации приведен простой алгебраический вывод критерия когерентного пленения населенностей в четырехуровневой системе. Обнаружено, что непоглощающее состояние расщепляется, т. е. отщепленное невзаимодей-

ствующее с полем состояние наблюдается при двух значениях расстройки. В разд. 3 приведены численные решения уравнения для матрицы плотности в двойной  $\Lambda$ -схеме с учетом релаксации. Показано, что резкий провал в населенности верхнего уровня как функция частоты расщепляется на две компоненты. Рассчитано проявление когерентного пленения населенностей в спектральных контурах нелинейной восприимчивости. В разд. 4 обсуждается вопрос, почему расщепление непоглощающего состояния не наблюдалось ни в измерениях, ни в численных экспериментах по четырехволновому смешению, известных из литературы. Приводятся условия, необходимые для экспериментальной проверки эффекта. В разд. 5 резюмируются результаты работы.

## 2. УСЛОВИЯ ВОЗНИКНОВЕНИЯ НЕПОГЛОЩАЮЩЕГО СОСТОЯНИЯ

Рассмотрим двойную  $\Lambda$ -схему (рис. 1а), резонансно взаимодействующую с четырьмя электромагнитными полями. Обозначим уровни энергии цифрами  $j = 1, 2, 3, 4$ , а поля — буквами  $\nu = a, b, c, d$ :

$$\mathbf{E}(t) = \frac{1}{2} \sum_{\nu=a,b,c,d} \mathbf{E}_\nu e^{-i\omega_\nu t} + \text{с.с.}, \quad (2)$$

где  $\mathbf{E}_\nu, \omega_\nu$  — амплитуды и частоты полей. Пренебрегая на первом этапе релаксацией, запишем уравнение Шредингера для вектора-столбца амплитуд вероятности  $\mathbf{a} = (a_1, a_2, a_3, a_4)^T$  ( $T$  означает транспонирование) пребывания системы в состояниях  $|j\rangle$  ( $j = 1, \dots, 4$ ) в представлении взаимодействия:

$$i\dot{\mathbf{a}} = V\mathbf{a}. \quad (3)$$

Матричные элементы взаимодействия отличны от нуля на разрешенных переходах:

$$\begin{aligned} V_{13} &= G_a \exp(-i\Omega_a t), & V_{14} &= G_b \exp(-i\Omega_b t), \\ V_{23} &= G_c \exp(-i\Omega_c t), & V_{24} &= G_d \exp(-i\Omega_d t). \end{aligned} \quad (4)$$

Здесь  $\Omega_\nu$  — расстройки полей относительно соответствующих переходов  $\omega_{ij} \equiv (E_i - E_j)/\hbar$ ,  $i, j = 1, \dots, 4$ :

$$\Omega_a = \omega_a - \omega_{31}, \quad \Omega_b = \omega_b - \omega_{41}, \quad \Omega_c = \omega_c - \omega_{32}, \quad \Omega_d = \omega_d - \omega_{42}, \quad (5)$$

а  $G_\nu = -\mathbf{E}_\nu \mathbf{d}_\nu / 2\hbar$  — частоты Раби, т.е. амплитуды матричных элементов взаимодействия полей  $\mathbf{E}_\nu$  с дипольными моментами переходов  $\mathbf{d}_\nu$ .

Переходя к поиску непоглощающего состояния, преобразуем (3) в систему с постоянными коэффициентами, превратив эрмитову матрицу  $V = V^\dagger$  в не зависящую от времени с помощью унитарного преобразования  $U$

$$\tilde{\mathbf{a}} = U\mathbf{a}, \quad \tilde{V} = UVU^\dagger - iUU_t^\dagger. \quad (6)$$

Такое «останавливающее» преобразование можно подобрать, если искать его матрицу в диагональном виде:

$$U = \exp(-iHt), \quad H = \text{diag}(\Delta_1, \Delta_2, \Delta_3, \Delta_4). \quad (7)$$

Для неопределенных коэффициентов  $\Delta_i$  получается вырожденная система однородных линейных уравнений, разрешимая при условии

$$\Omega_a - \Omega_b - \Omega_c + \Omega_d = 0, \quad (8)$$

которое является следствием цикла (1) по частотам полей. Один из параметров можно задать произвольно, например  $\Delta_4 = 0$ , а остальные определяются однозначно:  $\Delta_1 = \Omega_c$ ,  $\Delta_2 = \Omega_d$ ,  $\Delta_3 = \Omega_c - \Omega_a$ . Аналогично унитарным преобразованием

$$U_1 = \exp(-i\Phi), \quad \Phi = \text{diag}(\phi_1, \phi_2, \phi_3, \phi_4)$$

можно превратить частоты Раби  $G_a, G_b, G_c, G_d$  в действительные положительные параметры, когда выполнено условие фазового синхронизма  $\varphi_a - \varphi_b - \varphi_c + \varphi_d = 0$ , где  $\varphi_\nu$  — фазы полей. Это условие выполняется, если одно из полей (например,  $c$ ) генерируется в результате четырехволнового смешения. Если же фазовый синхронизм отсутствует, действительными можно сделать только три амплитуды. Выпишем полученную матрицу  $\tilde{V}$ . Для краткости ниже будем обозначать частоты Раби их индексами, опуская букву  $G$ , т. е. используем замену  $G_\nu \rightarrow \nu$ ,  $\nu = a, b, c, d$ :

$$\tilde{V} = \begin{pmatrix} \Omega_c & 0 & a & c \\ 0 & \Omega_d & b & d \\ a & b & \Omega_c - \Omega_a & 0 \\ c & d & 0 & 0 \end{pmatrix}. \quad (9)$$

В реальной четырехуровневой системе имеется релаксация. Если верхний уровень |4⟩ распадается значительно быстрее состояний |1⟩, |2⟩, |3⟩ ( $\Gamma_{1,2,3} \ll \Gamma_4$ ), то задачу о смешивании этих состояний полем в когерентную суперпозицию можно рассматривать без учета релаксации при  $\Gamma_{1,2,3} \ll G_\nu$ . В частности, такая суперпозиция долгоживущих состояний при некотором дополнительном ограничении на параметры может отщепляться и не взаимодействовать с полем. Назовем такую суперпозицию отщепленным состоянием.

Ниже выводится критерий возникновения такого отщепленного состояния. Мы стартовали с амплитудных уравнений (3) без релаксации. Если учесть спонтанный распад, то населенность через уровень |4⟩ переносится в отщепленное состояние. Если это отщепленное состояние долгоживущее, то поля перестают поглощаться. Такое непоглощающее состояние четырехуровневой системы проявится как узкий провал в зависимости населенности уровня |4⟩ от частоты. Такой же узкий резонанс появится в частотной зависимости сигнала флуоресценции с уровня |4⟩.

Начнем с более простого и изученного случая трехуровневой  $\Lambda$ -схемы, а потом попробуем обобщить вывод на четырехуровневую. Если  $a = b = 0$ , то схема рис. 1а или 1б сводится к трехуровневой |1⟩ — |4⟩ — |2⟩. Чтобы найти условие возникновения отщепленного состояния, надо искать собственный вектор  $(a_1, a_2, a_4)$  оператора

$$V_3 = \begin{pmatrix} \Omega_c & 0 & c \\ 0 & \Omega_d & d \\ c & d & 0 \end{pmatrix}, \quad (10)$$

у которого  $a_4 = 0, a_1, a_2 \neq 0$ . Для ненулевых компонент получается переопределенная система линейных уравнений:

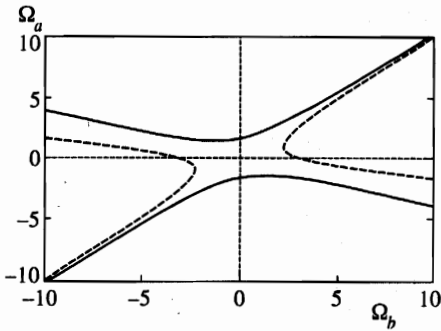


Рис. 2. Критерий когерентного пленения населенностей в плоскости расстройек  $\Omega_b$  и  $\Omega_a$ : сплошные кривые соответствуют случаю  $bc > ad$  ( $a = 1, b = 2, c = 3, d = 4$ ); штрихами изображена резонансная гипербола в противоположном случае  $bc < ad$  ( $a, b, c$  те же,  $d = 8$ )

$$\Omega_c a_1 = \lambda a_1, \quad \Omega_d a_2 = \lambda a_2, \quad ca_1 + da_2 = 0, \tag{11}$$

где  $\lambda$  — собственное значение. Система (11) имеет решение при условии  $\lambda = \Omega_c = \Omega_d$ , т. е. только при равных отстройках. Нормированный собственный вектор отщепленного состояния имеет вид

$$|a_\lambda\rangle = -\frac{d}{\sqrt{c^2 + d^2}} |1\rangle + \frac{c}{\sqrt{c^2 + d^2}} |2\rangle. \tag{12}$$

Такое состояние известно из теории когерентного пленения населенностей в трехуровневой системе [10].

Перейдем к выводу условий отщепления в четырехуровневой системе с полями  $a, b \neq 0$ . Имея в виду направление спонтанного распада уровня  $|4\rangle$ , надо искать отщепленную когерентную суперпозицию состояний  $|1\rangle, |2\rangle$  и  $|3\rangle$ . Для этого следует решить задачу на собственные значения

$$\tilde{V} a_\lambda = \lambda a_\lambda, \tag{13}$$

причем найти такой собственный вектор  $a_\lambda = (a_1, a_2, a_3, 0)^T$ , у которого обращается в нуль четвертая компонента. Для первых трех ненулевых компонент вектора  $a_1, a_2, a_3$  получается переопределенная система линейных уравнений, условие разрешимости которой сводится к существованию общего корня  $\lambda$  двух уравнений

$$b(ad - bc) + c(\Omega_c - \Omega_a - \lambda)(\Omega_d - \lambda) = 0, \quad bd(\Omega_c - \lambda) + ac(\Omega_d - \lambda) = 0. \tag{14}$$

С учетом (8) получается условие

$$\Omega_a - \Omega_b = \frac{ac + bd}{bd} \left[ -\frac{\Omega_b}{2} \pm \sqrt{\frac{\Omega_b^2}{4} + \frac{b}{c}(bc - ad)} \right], \tag{15}$$

связывающее две расстройки и четыре частоты Раби.

Зависимость  $\Omega_a(\Omega_b)$  (рис. 2) представляет собой гиперболу с вершиной в начале координат и асимптотами  $\Omega_a = \Omega_b, \Omega_a = -\Omega_b ac/bd$ . Первая асимптота соответствует критерию когерентного пленения населенностей в трехуровневой  $\Lambda$ -схеме, а вторая появляется в четырехуровневой. Если  $bc < ad$ , то в плоскости  $\Omega_a \Omega_b$  появляется вертикальная полоса  $\Omega_b^2 \leq 4b(ad - bc)/c$  («запрещенная зона»), внутри которой когерентное пленение населенностей не возникает ни при какой расстройке  $\Omega_a$ . При точном

равенстве  $bc = ad$  гипербола вырождается в пару прямых, пересекающихся в начале координат.

Две ветви гиперболы можно интерпретировать как расщепление непоглощающего состояния в четырехуровневой системе на две компоненты. Чтобы выписать соответствующие волновые функции, надо решить спектральную задачу (13). Собственное число находится из (14):

$$\lambda = \frac{ac\Omega_d + bd\Omega_c}{ac + bd},$$

а ненормированный собственный вектор записывается как

$$\mathbf{a}_\lambda = \left( -bd, bc, c \left[ -\frac{\Omega_b}{2} \pm \sqrt{\frac{\Omega_b^2}{4} + \frac{b}{c}(bc - ad)} \right], 0 \right)^T. \quad (16)$$

В частном случае можно найти также непоглощающее состояние, в котором смешаны не три, а только два состояния,  $|1\rangle$  и  $|2\rangle$ , как в трехуровневой системе. Для реализации такого смешивания должны быть выполнены дополнительные условия, связывающие амплитуды полей и расстройку. Чтобы получить эти условия, ищем собственный вектор матрицы  $\tilde{V}$  в подпространстве состояний, ортогональном векторам  $|3\rangle$  и  $|4\rangle$  ( $a_3 = a_4 = 0$ ). Условие разрешимости сводится к равенству расстроек  $\Omega_c = \Omega_d$  (откуда следует также  $\Omega_a = \Omega_b$ ) и уравнению связи для амплитуд

$$\begin{vmatrix} a & b \\ c & d \end{vmatrix} = 0. \quad (17)$$

В данном частном случае гипербола превращается в пару прямых, пересекающихся в начале координат. При этом, как следует из (16),  $a_3$  тоже обращается в нуль. Нормированное отщепленное состояние  $\mathbf{a}_\lambda$  получается таким же, как в трехуровневой системе, формула (12).

Мы искали линейное преобразование, оставляющее на месте именно состояние  $|4\rangle$ , чтобы учесть направление релаксационных процессов. Когерентное пленение населенностей, в котором смешиваются состояния  $|1\rangle$ ,  $|2\rangle$ ,  $|3\rangle$ , может осуществиться, если релаксационные константы этих уровней  $\Gamma_{1,2,3}$  малы по сравнению с  $\Gamma_4$ . Частный случай (17) может быть реализован, если относительно малы константы релаксации уровней  $|1\rangle$ ,  $|2\rangle$ .

В симметричном случае  $a = c$ ,  $b = d$ ,  $\Omega_a = \Omega_c$ ,  $\Omega_b = \Omega_d$  оператор взаимодействия (9) приобретает симметрию относительно перестановки состояний  $|3\rangle \leftrightarrow |4\rangle$ . Тогда  $\mathbf{a}_\lambda = (0, 0, 1, -1)^T$  становится собственным вектором, а разность амплитуд  $a_3(t) - a_4(t)$  — интегралом движения. В подпространстве ортогональном вектору  $\mathbf{a}_\lambda$  система сводится к трехуровневой. При  $a = b$ ,  $c = d$ ,  $\Omega_a = \Omega_b$ ,  $\Omega_c = \Omega_d$  вектор  $(1, -1, 0, 0)^T$  становится собственным, а система — инвариантной относительно перестановки состояний  $|1\rangle \leftrightarrow |2\rangle$ . Их асимметричная линейная комбинация (12) является отщепленным состоянием.

Действуя аналогично, для ромбической схемы (рис. 1б) получим матрицу взаимодействия, которая отличается от (9) заменой знаков двух расстроек  $\Omega_c \rightarrow -\Omega_c$ ,  $\Omega_d \rightarrow -\Omega_d$ . Пользуясь условием синхронизма, которое отличается от (8) той же заменой знаков

$$\Omega_a - \Omega_b + \Omega_c - \Omega_d = 0, \quad (18)$$

получим для расстроек тот же критерий (15).

### 3. ТЕМНЫЙ РЕЗОНАНС В НЕЛИНЕЙНОЙ ВОСПРИИМЧИВОСТИ

В данном разделе для учета распада состояний мы воспользуемся квантовым кинетическим уравнением для матрицы плотности в модели релаксационных констант. Таких параметров в открытой четырехуровневой системе четырнадцать: четыре константы релаксации населенностей  $\Gamma_j$  ( $j = 1, 2, 3, 4$ ), четыре константы релаксации поляризаций разрешенных переходов  $\Gamma_\nu$  ( $\nu = a, b, c, d$ ), две константы распада когерентности запрещенных переходов  $\Gamma_{12} \equiv \Gamma_e, \Gamma_{34} \equiv \Gamma_f$ , а также четыре коэффициента Эйнштейна  $A_\nu$ .

Гамильтониан в динамическом уравнении  $\dot{\sigma} = -i[V, \sigma]$  для матрицы плотности  $\sigma$ , как и в предыдущем разделе, можно сделать не зависящим от времени с помощью унитарного преобразования (7)

$$\rho = \exp(iHt)\sigma \exp(-iHt), \quad \tilde{V} = \exp(-iHt)V \exp(iHt) + H$$

и получить матрицу (9).

Включив релаксацию, перепишем кинетическое уравнение как систему

$$\dot{R} = -i\hat{L}R + Q, \tag{19}$$

где  $Q$  — столбец скоростей некогерентного возбуждения,  $Q_{5j-4} = \Gamma_j N_j$ , остальные компоненты  $Q$  равны нулю,  $N_j$  — стационарные значения населенности уровней, невозмущенных полем,  $N_1 + N_2 + N_3 + N_4 = 1$ ,  $R$  — столбец элементов матрицы плотности, упорядоченный по строкам,

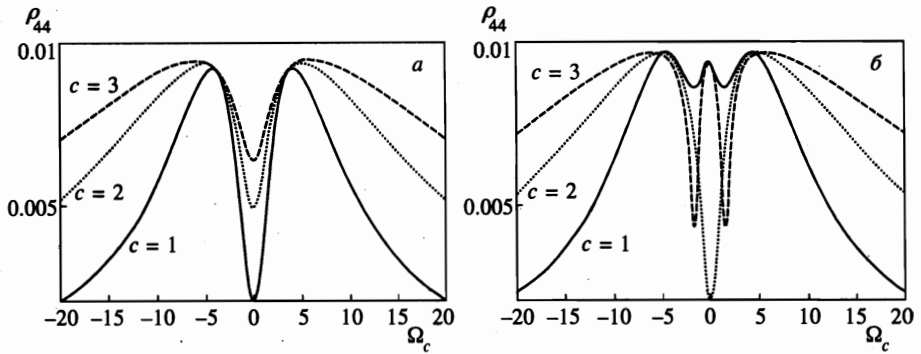
$$R = (\rho_{11}, \rho_{12}, \rho_{13}, \rho_{14}, \rho_{21}, \rho_{22}, \rho_{23}, \rho_{24}, \rho_{31}, \rho_{32}, \rho_{33}, \rho_{34}, \rho_{41}, \rho_{42}, \rho_{43}, \rho_{44})^T,$$

а  $\hat{L}$ , так называемый «супероператор» [13], — матрица  $16 \times 16$  вида

$$\hat{L} = \begin{pmatrix} \Gamma_1 & 0 & a & c & 0 & 0 & 0 & 0 & -a & 0 & -A_a & 0 & -c & 0 & 0 & -A_c \\ 0 & \hat{\Gamma}_{12} & b & d & 0 & 0 & 0 & 0 & 0 & -a & 0 & 0 & 0 & -c & 0 & 0 \\ a & b & \hat{\Gamma}_{13} & 0 & 0 & 0 & 0 & 0 & 0 & 0 & -a & 0 & 0 & 0 & -c & 0 \\ c & d & 0 & \hat{\Gamma}_{14} & 0 & 0 & 0 & 0 & 0 & 0 & 0 & -a & 0 & 0 & 0 & -c \\ 0 & 0 & 0 & 0 & \hat{\Gamma}_{21} & 0 & a & c & -b & 0 & 0 & 0 & -d & 0 & 0 & 0 \\ 0 & 0 & 0 & 0 & 0 & \Gamma_2 & b & d & 0 & -b & -A_b & 0 & 0 & -d & 0 & -A_d \\ 0 & 0 & 0 & 0 & a & b & \hat{\Gamma}_{23} & 0 & 0 & 0 & -b & 0 & 0 & 0 & -d & 0 \\ 0 & 0 & 0 & 0 & c & d & 0 & \hat{\Gamma}_{24} & 0 & 0 & 0 & -b & 0 & 0 & 0 & -d \\ -a & 0 & 0 & 0 & -b & 0 & 0 & 0 & \hat{\Gamma}_{31} & 0 & a & c & 0 & 0 & 0 & 0 \\ 0 & -a & 0 & 0 & 0 & -b & 0 & 0 & 0 & \hat{\Gamma}_{32} & b & d & 0 & 0 & 0 & 0 \\ 0 & 0 & -a & 0 & 0 & 0 & -b & 0 & a & b & \Gamma_3 & 0 & 0 & 0 & 0 & 0 \\ 0 & 0 & 0 & -a & 0 & 0 & 0 & -b & c & d & 0 & \hat{\Gamma}_{34} & 0 & 0 & 0 & 0 \\ -c & 0 & 0 & 0 & -d & 0 & 0 & 0 & 0 & 0 & 0 & 0 & \hat{\Gamma}_{41} & 0 & a & c \\ 0 & -c & 0 & 0 & 0 & -d & 0 & 0 & 0 & 0 & 0 & 0 & 0 & \hat{\Gamma}_{42} & b & d \\ 0 & 0 & -c & 0 & 0 & 0 & -d & 0 & 0 & 0 & 0 & 0 & a & b & \hat{\Gamma}_{43} & 0 \\ 0 & 0 & 0 & -c & 0 & 0 & 0 & -d & 0 & 0 & 0 & 0 & 0 & c & d & 0 & \Gamma_4 \end{pmatrix}, \tag{20}$$

где

$$\begin{aligned} \hat{\Gamma}_{12} &= i\Gamma_e - (\Omega_d - \Omega_c), \quad \hat{\Gamma}_{13} = i\Gamma_a + \Omega_a, \quad \hat{\Gamma}_{14} = i\Gamma_c + \Omega_c, \\ \hat{\Gamma}_{21} &= i\Gamma_e + (\Omega_d - \Omega_c), \quad \hat{\Gamma}_{23} = i\Gamma_b + \Omega_b, \quad \hat{\Gamma}_{24} = i\Gamma_d + \Omega_d, \\ \hat{\Gamma}_{31} &= i\Gamma_a - \Omega_a, \quad \hat{\Gamma}_{32} = i\Gamma_b - \Omega_b, \quad \hat{\Gamma}_{34} = i\Gamma_f + (\Omega_c - \Omega_a), \\ \hat{\Gamma}_{41} &= i\Gamma_c - \Omega_c, \quad \hat{\Gamma}_{42} = i\Gamma_d - \Omega_d, \quad \hat{\Gamma}_{43} = i\Gamma_f - (\Omega_c - \Omega_a). \end{aligned}$$



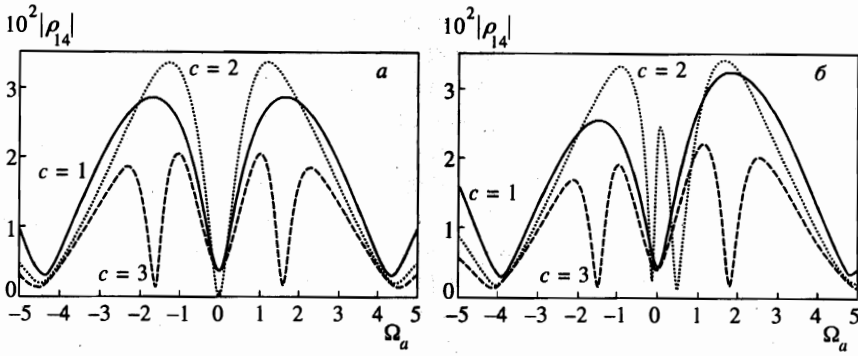
**Рис. 3.** Зависимости населенности  $\rho_{44}$  от расстройки  $\Omega_c$  при разных значениях  $c$ ,  $b = 0$  (а) и  $b = 2$  (б),  $a = 1$ ,  $d = 4$ ,  $\Gamma_1 = \Gamma_2 = \Gamma_3 = 0.01$ ,  $\Gamma_4 = 1$ , недиагональные константы релаксации равны полусуммам соответствующих диагональных:  $\Gamma_{ij} = (\Gamma_i + \Gamma_j)/2$ ,  $N_1 = 1$ ,  $N_2 = N_3 = N_4 = 0$ ,  $\Omega_b = \Omega_d = 0$ ,  $\Omega_c = \Omega_a$

Матрица  $\hat{L}$  становится симметричной только тогда, когда нет спонтанного распада по разрешенным переходам,  $A_\nu = 0$ . При отсутствии релаксации,  $\Gamma_j = \Gamma_\nu = 0$ ,  $j = 1, \dots, 4$ ,  $\nu = a, b, c, d, e, f$ , матрица превращается в бесследовую.

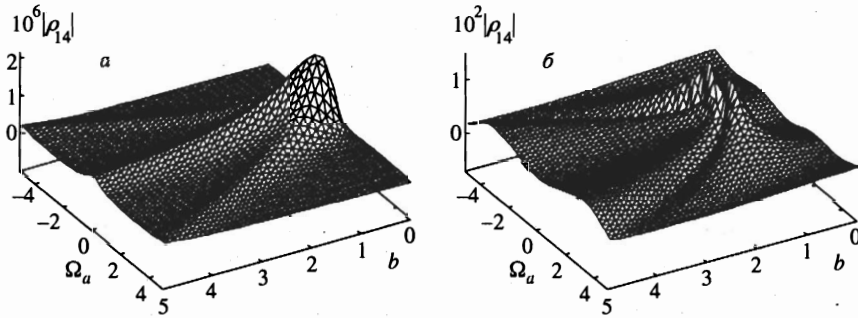
Ниже приведены стационарные решения уравнений (19), полученные путем численного обращения матрицы (20) методом Гаусса. На рис. 3 представлены зависимости населенности уровня  $|4\rangle$  от расстройки частоты  $\Omega_c = \Omega_a$  при  $\Omega_d = \Omega_b = 0$ . Чтобы попасть в область параметров когерентного пленения населенностей, константы релаксации уровней  $|1\rangle, |2\rangle, |3\rangle$  выбраны в 100 раз меньше, чем у уровня  $|4\rangle$ . На рис. 3а показан случай  $b = 0$ , поэтому цикл полей разомкнут и система сводится к трехуровневой. Виден узкий провал вблизи расстройки  $\Omega_d = 0$ , соответствующий условию когерентного пленения населенностей. С увеличением амплитуды поля  $c$  провал становится менее резким, потому что сглаживается насыщением. Рисунок 3б соответствует случаю  $b \neq 0$ , поэтому «темный» резонанс появляется при  $c = 2$ , когда  $bc = ad$ . При  $bc > ad$  ( $c = 3$ ) провал в населенности верхнего уровня, а значит, и в сигнале флуоресценции расщепляется на две узкие компоненты.

Вычислялась также абсолютная величина нелинейной восприимчивости  $\beta \propto |\rho_{14}|$  на частоте  $\omega_c$ . В простейшей модели, не учитывающей истощение накачки  $a, b, d$ , распространение поля  $c$  описывается укороченным уравнением Максвелла с поляризацией  $\rho_{14}$  в правой части. Поэтому в оптически тонкой среде  $c^2 \propto |\rho_{14}|^2 L^2$ , где  $L$  — длина среды. Зависимость коэффициента конверсии  $\beta$  в произвольных единицах от расстройки изображена на рис. 4а при трех значениях амплитуды  $c = 1, 2, 3$ . Параметры подобраны так, что кривая для  $c = 1$  соответствует случаю  $bc < ad$  и когерентное пленение населенностей при  $\Omega_a = 0$  на ней отсутствует. На кривой для  $c = 2$  справедливо равенство (17), поэтому когерентное пленение населенностей появляется в центре линии  $\Omega_a = 0$ . На кривой для  $c = 3$  выполнено обратное неравенство  $bc > ad$ , поэтому согласно рис. 2 должно быть два резонанса в соответствии с двумя знаками в формуле (15). На рисунке видно, как у резонанса, расщепленного на два широких симметричных «горба», вырастает тоже широкая центральная компонента, в центре которой при увеличении поля  $c$  сначала появляется узкий провал. Затем с увеличением поля провал расщепляется на две компоненты. Узкие провалы на кривой для  $c = 3$  расположены примерно





**Рис. 4.** Зависимости нелинейной восприимчивости (произвольные единицы) от расстройки  $\Omega_a$  при  $\Gamma_1 = \Gamma_2 = \Gamma_3 = 0.01$ ,  $\Gamma_4 = 1$ ,  $\Gamma_{ij} = (\Gamma_i + \Gamma_j)/2$ ,  $A_\nu = 0$ ;  $a = 1$ ,  $b = 2$ ,  $d = 4$ ,  $c = 1, 2, 3$ ;  $\Omega_d = 0$ ,  $\Omega_c = \Omega_a - \Omega_b$ ;  $N_1 = 1$ ,  $N_2 = N_3 = N_4 = 0$ ,  $A_\nu = 0$ ;  $\Omega_b = 0$  (а) или  $\Omega_b = 0.5$  (б)



**Рис. 5.** Зависимости абсолютной величины поляризации  $\propto |\rho_{14}|$  от расстройки  $\Omega_a$  и поля  $b$ : а —  $a = d = 0.001$ ,  $c = 0$ ,  $\Gamma_1 = \Gamma_2 = \Gamma_3 = \Gamma_4 = 0.5$ ; б —  $a = 1$ ,  $c = 3$ ,  $d = 4$ ,  $\Gamma_1 = \Gamma_2 = 0.01$ ,  $\Gamma_3 = 0.5$ ,  $\Gamma_4 = 3$ . Всюду  $A_\nu = 0$ ,  $N_1 = 1$ ,  $N_2 = N_3 = N_4 = 0$

на тех же частотах, где и резкие провалы населенности состояния  $|4\rangle$  на рис. 3б. При  $\Omega_b \neq 0$  «темный» резонанс сдвигается. Пример асимметричной частотной зависимости показан на рис. 4б. При  $\Omega_b \neq 0$  выражение под знаком квадратного корня в формуле (15) меняет знак при меньшем  $c$ . Поэтому на рис. 4б расщепление непоглощающего состояния видно уже на кривой для  $c = 2$ .

#### 4. ОБСУЖДЕНИЕ

На рис. 5 изображена величина  $\propto |\rho_{14}|$  как функция расстройки поля  $a$  и частоты Раби  $b$ , если первоначально был заселен уровень  $|1\rangle$ . В случае слабых полей  $a, c, d$  на рис. 5а видно расщепление резонанса на три пика: один несмещенный и две симметричных относительно  $\Omega_a = 0$  компоненты дублета Аутлера—Таунса, как и в работе [12]. Сильные поля качественно меняют картину. На рис. 5б видно, как при превышении полем критического значения в частотной зависимости появляется «темный» резонанс, который расщепляется на две компоненты. Провалы расталкиваются с увеличением

поля  $b$ . Расщепленная надвое центральная компонента с ростом  $b$  превращается в триплет и квартет. Если учесть не показанные на рисунке боковые компоненты, то всего в спектре нелинейной восприимчивости появляется шесть компонент.

Лин с соавт. [14] исследовали вырожденное четырехволновое смещение излучения титан-сапфирового лазера на  $D_2$  линии  $^{85}\text{Rb}$ . Конфигурация уровней соответствовала двухуровневой системе, поэтому в спектре пробного поля наблюдался дублет или триплет. В нашем рассмотрении двухуровневая система отвечает случаю трех слабых (или далеко отстроенных от резонанса) полей, например  $a, c, d$ , и одного сильного  $b$  (рис. 5б). В двухуровневой системе когерентное пленение населенностей не наблюдается, а есть только расщепление резонанса на три компоненты, соответствующие переходам между разными уровнями квазиэнергии.

Харрис с соавт. [2] для преобразования частоты в парах Rb использовали смещение излучения второй и третьей гармоник титан-сапфирового лазера  $\lambda_b = 406$ ,  $\lambda_d = 283$ ,  $\lambda_a = 293$  в  $\lambda_c = 425$  нм. Однако в двойной  $\Lambda$ -схеме в качестве промежуточного состояния  $|3\rangle$  (рис. 1а) выбирался виртуальный уровень, отстроенный от  $|4\rangle$  на  $1112 \text{ см}^{-1}$ . Поэтому система была трехуровневой и расщепления когерентного пленения населенностей не наблюдалось ни в эксперименте, ни в численном моделировании.

В численном расчете Петча с соавт. [7] исследовался процесс смещения в ромбической схеме Kг. Вместо состояния  $|2\rangle$  (рис. 1б) рассматривался виртуальный уровень, расположенный между  $|3\rangle$  и  $|4\rangle$ , соответствующий двухфотонному переходу  $|3\rangle \rightarrow |4\rangle$ . Соответственно система при этом становится трехуровневой, «супероператор» — матрицей  $9 \times 9$ , а непоглощающее состояние не расщепляется. Частотная зависимость нелинейной восприимчивости, полученная в [7], состоит из двух компонент.

Кочаровская и Мандель [11] при исследовании линейного режима усиления бихроматического поля без инверсии в двойной  $\Lambda$ -схеме для простоты рассматривали специальный симметричный случай. В наших обозначениях это  $\Omega_\nu = 0$ ,  $a = b$ ,  $c = d$ . Укороченные уравнения Максвелла сохраняют это свойство даже при учете истощения накачки в среде. В этом случае  $bd = ac$ , т. е. выполнено условие (17) и сохраняется такое же непоглощающее состояние, как в трехуровневой системе (12).

В эксперименте [5] поля  $d, c, b$  ( $\lambda_d = 488$ ,  $\lambda_c = 599$ ,  $\lambda_b = 655$  нм) подавались во внешнюю ячейку от аргонового и димерного комбинационного лазеров, а также лазера на красителе соответственно. Поле  $a$  рождалось в процессе резонансного четырехволнового смещения. Поля  $a$  и  $c$  получались слабыми, а расстройки  $\Omega_d$  и  $\Omega_c$  не могли меняться независимо, так как были жестко связаны условием комбинационной генерации. Поэтому эффект расщепления когерентного пленения населенностей в эксперименте не наблюдался. Расщепление отсутствовало и в теории двойной  $\Lambda$ -схемы с двумя сильными полями на противоположных переходах [15], а появление двух новых пиков в спектре нелинейной восприимчивости в дополнение к четырем обычным было следствием усреднения по скоростям.

Чтобы наблюдать эффекты когерентного пленения населенностей в четырехволновом смещении, необходимо, чтобы все четыре поля были достаточно сильными,  $|G_\nu| \gg \gg |G_\nu - i\Omega_\nu|$ , а три нижних уровня достаточно узкими по сравнению с верхним. Наиболее заметным эффект должен быть при  $ad = bc$  в точном резонансе  $\Omega_a = \Omega_b = \Omega_c = \Omega_d = 0$ . В этом случае согласно условию (17) расщепления нет, поэтому провал в зависимости нелинейной восприимчивости от амплитуды волны  $c$  остается резким даже при сравнительно большой константе релаксации уровня  $|3\rangle$  (рис. 6).

Экспериментально наибольшая интенсивность поля, генерируемого в процессе не-

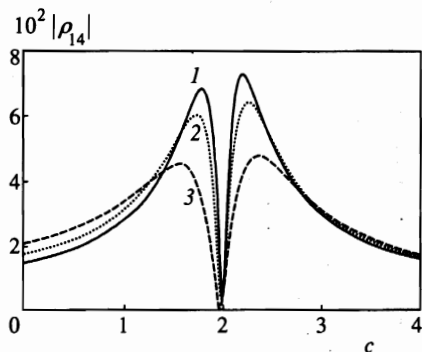


Рис. 6. Зависимости нелинейной восприимчивости (произвольные единицы) от частоты Раби  $c$  при  $a = 1$ ,  $b = 2$ ,  $d = 4$ ;  $\Gamma_1 = \Gamma_2 = 0.1$ ,  $\Gamma_4 = 1$ : кривая 1 —  $\Gamma_3 = 0.1$ ; 2 —  $\Gamma_3 = 0.3$ ; 3 —  $\Gamma_3 = 1$  ( $A_\nu = 0$ ,  $\Omega_\nu = 0$ )

прерывного резонансного четырехволнового смешения с увеличением частоты, достигнута в работе Хинце с соавт. [16]. При возбуждении паров молекулярного натрия лазерным излучением с длинами волн  $\lambda_a = 655$ ,  $\lambda_b = 756$ ,  $\lambda_d = 532$  нм и мощностями порядка 100 мВт получена мощность 0.1 мВт на длине волны  $\lambda_c = 480$  нм. Этого недостаточно для наблюдения эффекта, однако мощность генерируемой волны может быть повышена с помощью стабилизации частоты возбуждающего излучения. Можно получить значительно более сильные поля в импульсном режиме. Импульсное повышение эффективности четырехволнового смешения в пять раз за счет электромагнитно-индуцированной прозрачности наблюдалось недавно Дорманом и Марангосом [8] на уровнях криптона.

## 5. ЗАКЛЮЧЕНИЕ

В данной работе мы обращаем внимание на один новый когерентный эффект — расщепление непоглощающего состояния в четырехуровневой системе. Целью работы было показать, что эффект существенно меняет зависимости населенностей и нелинейной восприимчивости от частот и амплитуд волн. Обнаружено и подтверждено численным расчетом, что при определенных условиях в этих зависимостях могут появляться двойные узкие глубокие провалы. Для экспериментальной проверки эффекта требуются высокие интенсивности всех четырех полей.

В заключение автор выражает признательность коллегам С. А. Бабину, Е. В. Подивилу, М. Г. Степанову и А. И. Черных за полезные обсуждения. Настоящая работа поддержана Российским фондом фундаментальных исследований (гранты 96-02-00069, 96-15-96642) и программами Министерства науки и технологий «Оптика. Лазерная физика» (1.53) и «Фундаментальная спектроскопия» (08.02.32).

## Литература

1. А. Б. Будницкий, А. К. Попов, *Опт. и спектр.* **29**, 1032 (1970).
2. M. Jain, H. Xia, G. Y. Yin, A. Merriam, and S. Harris, *Phys. Rev. Lett.* **77**, 4326 (1996).
3. J. Marangos, N. Shen, H. Ma, M. Hutchinson, and J. Connerade, *JOSA B* **7**, 1254 (1990).

4. A. Apolonsky, S. Balushev, U. Hinze, E. Tiemann, and B. Wellegehausen, *Appl. Phys. B* **64**, 435 (1997).
5. S. Babin, U. Hinze, E. Tiemann, and B. Wellegehausen, *Opt. Lett.* **21**, 1186 (1996).
6. S. E. Harris, J. E. Field, and A. Imamoglu, *Phys. Rev. A* **64**, 1107 (1990).
7. J. Petch, C. Keitel, P. Knight, and J. Marangos, *Phys. Rev. A* **53**, 543 (1996).
8. C. Dorman and J. P. Marangos, *Phys. Rev. A* **58**, 4121 (1998).
9. E. Arimondo, in *Progress in Optics*, Elsevier Science B. V., Amsterdam (1996), Vol. 35, p. 257.
10. Б. Д. Агапьев, М. Б. Горный, Б. Г. Матисов, Ю. В. Рождественский, *УФН* **163**(9), 1 (1993).
11. О. Коcharovskaya and P. Mandel, *Phys. Rev. A* **42**, 523 (1990).
12. D. Coppeta, P. Kelley, P. Harshman, and T. Gustavson, *Phys. Rev. A* **53**, 925 (1996).
13. N. Chencinski, W. M. Schreiber, A. M. Levine, and Y. Prior, *Phys. Rev. A* **42**, 2839 (1990).
14. J. Lin, A. Rubiera, and Y. Zhu, *Phys. Rev. A* **52**, 4882 (1995).
15. S. A. Babin, E. V. Podivilov, and D. A. Shapiro, *Письма в ЖЭТФ* **66**, 777 (1997).
16. U. Hinze, L. Meyer, A. Apolonskii, S. Babin, E. Tiemann, and B. Wellegehausen, in *Proc. European Quantum Electronics Conference (Glasgow, 14-18 Sep. 1998). Technical Digest, QTu13*.